

# Sur la normalisation de la matrice Laplacienne en partitionnement spectral

Julien Ah-Pine  
(julien.ah-pine@univ-lyon2.fr)

Université Lyon 2  
Laboratoire ERIC

Lyon, le 28 juin 2017  
SFC 2017

- 1 Partitionnement spectral (spectral clustering)
- 2 Normalisation d'ordre  $t > 0$  de la matrice Laplacienne
- 3 Expériences
- 4 Conclusion et travaux futurs

# Rappel du Sommaire

- 1 Partitionnement spectral (spectral clustering)
- 2 Normalisation d'ordre  $t > 0$  de la matrice Laplacienne
- 3 Expériences
- 4 Conclusion et travaux futurs

# Partitionnement spectral (PS) en quelques mots

- Méthodes de clustering développées depuis les années 2000.
- Prise en compte de la **géométrie intrinsèque** des données (espaces courbés/variétés).
- Les notions de **graphes de similarités et de voisinage** et de **matrice laplacienne** sont importantes.
- Méthodologie : **décomposition spectrale** de la matrice Laplacienne, plongement des données dans un **espace euclidien**, et utilisation des **k-means** pour le partitionnement.
- Liens avec les problèmes et méthodes de partitionnement de graphe.
- Article d'introduction de référence : [Von Luxburg, 2007].

# Graphe de similarités

- La modélisation employée est celle de **graphe non-orienté pondéré**.
- Soit  $G = (\mathbb{V}, \mathbb{E})$  un graphe non-orienté, sans boucle.
- $\mathbb{V} = \{v_1, \dots, v_n\}$  est l'ensemble des sommets : objets à classifier.
- $\mathbb{E}$  est l'ensemble des arêtes : paires d'objets qui sont **similaires**.
- Les arêtes sont pondérées et si  $(v_i, v_j) \in \mathbb{E}$ , alors  $l(v_i, v_j) > 0$  est la **valuation de la similarité**.
- $G$  est représenté par une **matrice d'adjacence pondérée** notée  $\mathbf{W} = (w_{ij})_{i,j=1,\dots,n}$ , définie comme suit :

$$w_{ij} = \begin{cases} l(v_i, v_j) & \text{si } (v_i, v_j) \in \mathbb{E} \\ 0 & \text{sinon} \end{cases}$$

# Graphe de voisinage

- L'ensemble des arêtes  $\mathbb{E}$  encode des **relations de voisinage**.
- Plusieurs façons de construire  $\mathbb{E}$  (et donc  $\mathbf{W}$ ) :
  - ▶ **Graphe écrêté selon un seuil  $\theta \geq 0$  :**

$$(v_i, v_j) \in \mathbb{E} \Leftrightarrow l(v_i, v_j) \geq \theta$$

- ▶ **Graphe des  $k$ -plus proches voisins :**

$$(v_i, v_j) \in \mathbb{E} \Leftrightarrow (v_i \in \text{NN}_k(v_j) \vee v_j \in \text{NN}_k(v_i))$$

où  $\text{NN}_k(v_i)$  est l'ensemble des  $k$  plus proches voisins de  $v_i$ .

# Matrice laplacienne et sa normalisation classique

- Notons  $\mathbf{D} = (d_{ij})_{i,j=1,\dots,n}$  la **matrice des degrés** et définie par :

$$d_{ij} = \begin{cases} d_i & \text{si } i = j \\ 0 & \text{sinon} \end{cases}$$

où  $d_i = \sum_{j=1}^n w_{ij}$ ,  $\forall i = 1, \dots, n$ .

- La **matrice Laplacienne** de  $G$  notée  $\mathbf{L}$  est définie comme suit :

$$\mathbf{L} = \mathbf{D} - \mathbf{W}$$

- La **normalisation par division symétrique** de  $\mathbf{L}$  notée  $\mathbf{L}_{sym}$  est donnée par :

$$\begin{aligned} \mathbf{L}_{sym} &= \mathbf{D}^{-1/2} \mathbf{L} \mathbf{D}^{-1/2} \\ &= \mathbf{I} - \mathbf{D}^{-1/2} \mathbf{W} \mathbf{D}^{-1/2} \end{aligned}$$

où  $\mathbf{I}$  est la matrice identité d'ordre  $n$ .

# Propriétés de la matrice laplacienne normalisée

## Propriété.

Soit  $\mathbf{L}_{sym}$  la matrice laplacienne **normalisée** d'un graphe  $G$  :

- Pour tout vecteur  $\mathbf{f} \in \mathbb{R}^n$  :

$$\mathbf{f}^\top \mathbf{L}_{sym} \mathbf{f} = \frac{1}{2} \sum_{i,j=1}^n w_{ij} \left( \frac{f_i}{\sqrt{d_i}} - \frac{f_j}{\sqrt{d_j}} \right)^2$$

- $\mathbf{L}_{sym}$  est symétrique et sdp et possède  $n$  valeurs propres réelles, non-négatives :

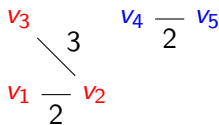
$$0 = \lambda_1 \leq \lambda_2 \leq \dots \leq \lambda_n$$

- L'ordre de multiplicité  $k$  de la **valeur propre 0** est le nombre de composantes connexes de  $G$  notées  $C_1, \dots, C_k$ . Le sous-espace propre associé à la valeur propre 0 est engendré par les vecteurs  $\mathbf{D}^{1/2} \mathbf{1}_{C_1}, \dots, \mathbf{D}^{1/2} \mathbf{1}_{C_k}$  où  $\mathbf{1}_{C_l}$  est le vecteur indicateur de  $C_l$ .



## Illustration

- $\mathbb{V} = \{v_1, v_2, v_3, v_4, v_5\}$
- $\mathbb{E} = \left\{ \underbrace{(v_1, v_2)}_2, \underbrace{(v_2, v_3)}_3, \underbrace{(v_4, v_5)}_2 \right\}$



$$\rightarrow \mathbf{W} = \begin{pmatrix} 0 & 2 & 0 & 0 & 0 \\ 2 & 0 & 3 & 0 & 0 \\ 0 & 3 & 0 & 0 & 0 \\ 0 & 0 & 0 & 0 & 2 \\ 0 & 0 & 0 & 2 & 0 \end{pmatrix}$$

$$\rightarrow \mathbf{D} = \begin{pmatrix} 2 & 0 & 0 & 0 & 0 \\ 0 & 5 & 0 & 0 & 0 \\ 0 & 0 & 3 & 0 & 0 \\ 0 & 0 & 0 & 2 & 0 \\ 0 & 0 & 0 & 0 & 2 \end{pmatrix}$$

$$\rightarrow \mathbf{L} = \begin{pmatrix} 2 & -2 & 0 & 0 & 0 \\ -2 & 5 & -3 & 0 & 0 \\ 0 & -3 & 3 & 0 & 0 \\ 0 & 0 & 0 & 2 & -2 \\ 0 & 0 & 0 & -2 & 2 \end{pmatrix}$$

$$\rightarrow \mathbf{L}_{\text{sym}} = \begin{pmatrix} 1 & -0.63 & 0 & 0 & 0 \\ -0.63 & 1 & -0.77 & 0 & 0 \\ 0 & -0.77 & 1 & 0 & 0 \\ 0 & 0 & 0 & 1 & -1 \\ 0 & 0 & 0 & -1 & 1 \end{pmatrix}$$

$\rightarrow$  Spectre de  $\mathbf{L}_{\text{sym}}$  :  $\{2, 2, 1, 0, 0\}$

$$\rightarrow \underbrace{\mathbf{D}^{1/2} \mathbf{1}_{C_1}}_{v_0^1} = \begin{pmatrix} 1.41 \\ 2.24 \\ 1.73 \\ 0 \\ 0 \end{pmatrix} \text{ et } \underbrace{\mathbf{D}^{1/2} \mathbf{1}_{C_2}}_{v_0^2} = \begin{pmatrix} 0 \\ 0 \\ 0 \\ 1.41 \\ 1.41 \end{pmatrix}$$

# Pseudo-code des méthodes de partitionnement spectral

- 1 **Input** :  $l$  (similarité), méthode de voisinage,  $k$  (nb de classes)
  - 2 Construire le graphe de voisinage  $\mathbf{W}$  selon la méthode choisie
  - 3 Construire la matrice laplacienne normalisée  $\mathbf{L}_{sym}$
  - 4 Calculer  $\mathbf{f}^1, \dots, \mathbf{f}^k$ , les  $k$  premiers vecteurs propres de  $\mathbf{L}_{sym}$
  - 5 Construire  $\mathbf{F} = (\mathbf{f}^1 \ \dots \ \mathbf{f}^k) \in \mathbb{R}^{n \times k}$
  - 6 Normer les vecteurs lignes de  $\mathbf{F}$
  - 7 Utiliser les  $k$ -means pour partitionner les  $n$  lignes de  $\mathbf{F}$
  - 8 **Ouput** : Partition en  $k$  classes
- Remarque : on peut utiliser  $\mathbf{L}$  à la place de  $\mathbf{L}_{sym}$  mais la dernière a de meilleures propriétés de convergence asymptotique que la première [Von Luxburg et al., 2008].

# Rappel du Sommaire

- 1 Partitionnement spectral (spectral clustering)
- 2 Normalisation d'ordre  $t > 0$  de la matrice Laplacienne
- 3 Expériences
- 4 Conclusion et travaux futurs

# Normalisation par division symétrique et produit de Hadamard

- **Proposition** : extension de la normalisation par division symétrique.
- Reprenons  $\mathbf{L}_{sym}$  ainsi que sa forme quadratique associée :

$$\mathbf{L}_{sym} = \mathbf{I} - \mathbf{D}^{-1/2} \mathbf{W} \mathbf{D}^{-1/2} \Rightarrow \mathbf{f}^T \mathbf{L}_{sym} \mathbf{f} = \sum_{i=1}^n f_i^2 - \sum_{i,j=1}^n \frac{w_{ij}}{\sqrt{d_i d_j}} f_i f_j$$

- Reformulation de  $\mathbf{L}_{sym}$  en utilisant le **produit de Hadamard (ou de Schur)** noté  $\circ$  (produit terme à terme entre deux matrices).
- En prenant  $\mathbf{N} = (n_{ij})_{i,j=1,\dots,n}$  de terme général :

$$n_{ij} = \frac{1}{\sqrt{d_i d_j}}$$

- On montre facilement que :

$$\boxed{\mathbf{L}_{sym} = \mathbf{L} \circ \mathbf{N}}$$

## Normalisation d'ordre $t$

- Etant donné le vecteur de degrés  $\mathbf{d} = (d_1, \dots, d_n)$ , on introduit la famille paramétrique de matrices  $\mathbf{N}^t = (n_{ij}^t)_{i,j=1,\dots,n}$  de terme général :

$$n_{ij}^t = \frac{1}{\left(\frac{1}{2}(d_i^t + d_j^t)\right)^{\frac{1}{t}}}$$

où le paramètre  $t$  est un réel strictement positif.

### Définition.

La famille de matrice Laplacienne normalisée d'ordre  $t$ , notée  $\mathbf{L}_{sym}^t$ , est définie pour tout  $t > 0$  par :

$$\begin{aligned} \mathbf{L}_{sym}^t &= \mathbf{L} \circ \mathbf{N}^t \\ &= \mathbf{I} - \mathbf{W} \circ \mathbf{N}^t \end{aligned}$$

# Normalisation d'ordre $t$ (suite)

- Posons :

$$\mathcal{M}^t(d_i, d_j) = \left( \frac{1}{2}(d_i^t + d_j^t) \right)^{\frac{1}{t}}$$

- On a :

$$n_{ij}^t = \frac{1}{\mathcal{M}^t(d_i, d_j)}, \forall i, j = 1, \dots, n$$

- $\mathcal{M}^t$  est la **moyenne généralisée (puissance) d'ordre**  $t > 0$  avec les propriétés remarquables suivantes :

- ▶ Moyenne géométrique :  $\lim_{t \rightarrow 0} \mathcal{M}^t(d_i, d_j) = \sqrt{d_i d_j}$ ,
- ▶ Moyenne arithmétique :  $\mathcal{M}^1(d_i, d_j) = \frac{1}{2}(d_i + d_j)$ ,
- ▶ Maximum :  $\lim_{t \rightarrow \infty} \mathcal{M}^t(d_i, d_j) = \max(d_i, d_j)$ .

- Clairement on a :

$$\lim_{t \rightarrow 0} \underbrace{\mathbf{L} \circ \mathbf{N}^t}_{\mathbf{L}_{sym}^t} = \mathbf{L}_{sym}$$

# Interprétations

- Forme quadratique associée à  $\mathbf{L}_{sym}^t$ ,  $\forall \mathbf{f} \in \mathbb{R}^n$  :

$$\mathbf{f}^\top \mathbf{L}_{sym}^t \mathbf{f} = \sum_{i=1}^n f_i^2 - \sum_{i,j=1}^n \frac{w_{ij}}{\left(\frac{1}{2}(d_i^t + d_j^t)\right)^{\frac{1}{t}}} f_i f_j$$

- Pour minimiser  $\mathbf{f}^\top \mathbf{L}_{sym}^t \mathbf{f}$ , il faut que  $f_i f_j > 0$  :

- ▶ “ $f_i f_j > 0$  si  $w_{ij}$  grand”.
- ▶ “ $f_i f_j > 0$  si  $\left(\frac{1}{2}(d_i^t + d_j^t)\right)^{\frac{1}{t}}$  petit”.

- Propriété :  $\forall t > 0$ , 
$$\begin{cases} \sqrt{d_i d_j} \leq \left(\frac{1}{2}(d_i^t + d_j^t)\right)^{\frac{1}{t}} \\ \sqrt{d_i d_j} = \left(\frac{1}{2}(d_i^t + d_j^t)\right)^{\frac{1}{t}} \text{ ssi } d_i = d_j \end{cases}$$

- ▶ “ $t > 0$  **pénalise** davantage la différence entre  $d_i$  et  $d_j$  que  $t \rightarrow 0$ ”.
- ▶  $v_i$  et  $v_j$  ont une forte probabilité d’être dans la même classe ( $f_i f_j > 0$ ) si leur **similarité** est **forte ET** si leurs **dégrés** sont **similaires**.

# Propriété de métricité

## Propriété.

Pour tout  $t > 0$ ,  $\mathbf{L}_{sym}^t$  est semi-définie positive.

## Démonstration.

$\mathbf{L}$  est sdp. On montre que  $\mathbf{N}^t$  est sdp pour tout  $t > 0$  [Bhatia, 2006]. Ainsi,  $\mathbf{L} \circ \mathbf{N}^t$  est sdp comme conséquence du théorème de Schur. □

- Ce résultat permet de garantir le plongement des objets dans un espace Euclidien par décomposition spectrale de  $\mathbf{L}_{sym}^t$ ,  $t > 0$ .
- En pratique, on peut donc utiliser le pseudo-code précédent avec cette nouvelle famille de matrice Laplacienne normalisée.



# Rappel du Sommaire

- 1 Partitionnement spectral (spectral clustering)
- 2 Normalisation d'ordre  $t > 0$  de la matrice Laplacienne
- 3 Expériences**
- 4 Conclusion et travaux futurs

# Protocol expérimental

- Tests sur 5 jeux de données accessibles en ligne.
- Tests de 5 normalisations :  $t \rightarrow 0$  (référence) contre  $t = 1, 2, 5, 10$ .
- Critère de qualité externe : indice de Rand corrigé (ARI).
- Pour chaque cas, 10 exécutions de  $k$ -means, puis test de significativité de Wilcoxon-Mann-Withney des mesures ARI entre  $t \rightarrow 0$  et  $t > 0$ .
- Tous les résultats présentés (moyennes des ARI) sont statistiquement différents du résultat de référence.

## Résultats

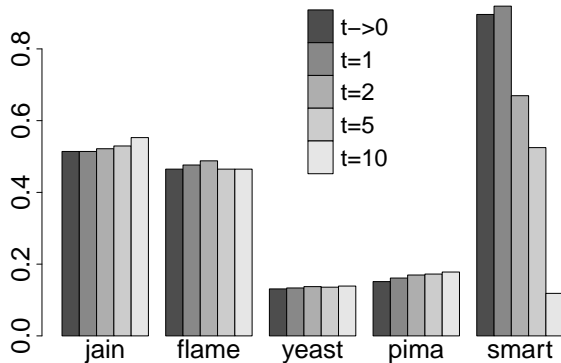


FIGURE – Résultats sur 5 jeux de données et 5 normalisation différentes.

# Rappel du Sommaire

- 1 Partitionnement spectral (spectral clustering)
- 2 Normalisation d'ordre  $t > 0$  de la matrice Laplacienne
- 3 Expériences
- 4 Conclusion et travaux futurs

# Conclusion et travaux futurs

- Contributions :
  - ▶ Généralisation de la normalisation par division symétrique.
  - ▶ “Proof of concept” sur quelques jeux de données.
- Travaux futurs :
  - ▶ Comment fixer le paramètre  $t$  ?  
(coefficient de clustering, ...),
  - ▶ Un paramètre  $t_{ij}$  pour chaque paire  $(v_i, v_j)$  ?  
(coefficient de clustering local, ...),
  - ▶ Partitionnement de graphes avec propriété sur les degrés.  
(réseaux invariants d'échelle, ...).

Merci de votre attention !  
Des questions ? :-)



Bhatia, R. (2006).

Infinately divisible matrices.

[The American Mathematical Monthly](#), 113(3) :221–235.



Von Luxburg, U. (2007).

A tutorial on spectral clustering.

[Statistics and computing](#), 17(4) :395–416.



Von Luxburg, U., Belkin, M., and Bousquet, O. (2008).

Consistency of spectral clustering.

[The Annals of Statistics](#), pages 555–586.